

Equações de Fresnel

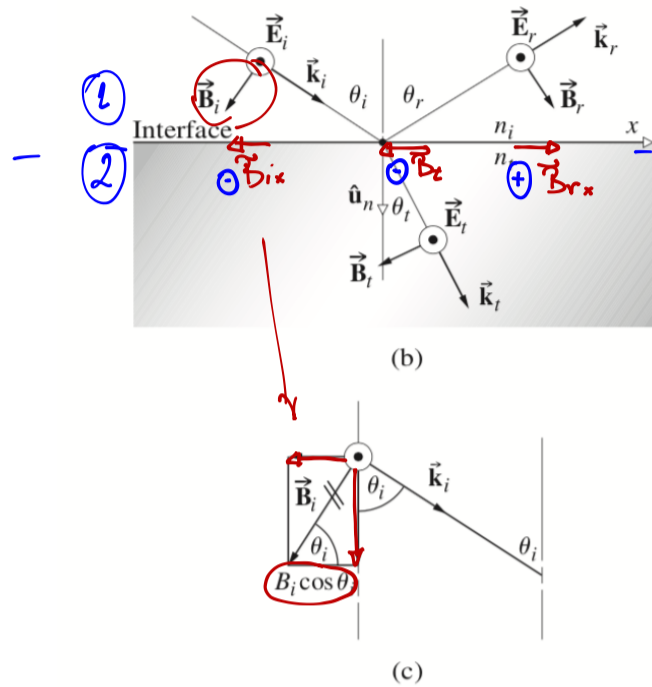
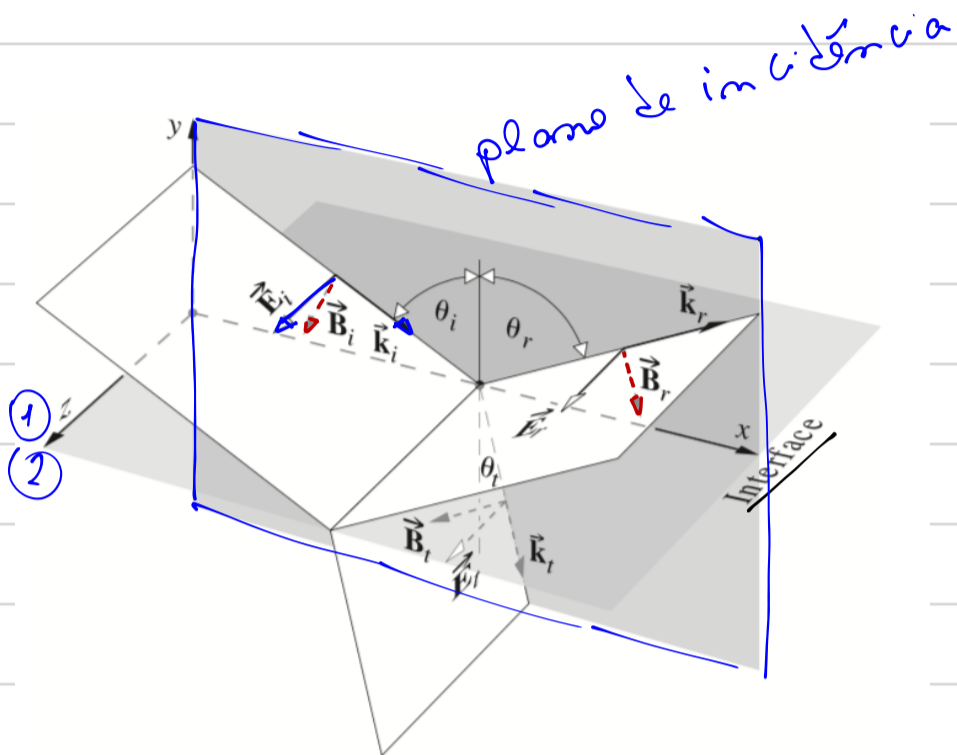


Figure 4.47 An incoming wave whose \vec{E} -field is normal to the plane-of-incidence. The fields shown are those at the interface; they have been displaced so the vectors could be drawn without confusion.

→ Campo elétrico \vec{E} perpendicular ao plano de incidência

1 = $\cos \theta$

$$\vec{E}_i \perp$$

$$\hat{n} \times (\vec{H}_2 - \vec{H}_1) = 0$$

$$\vec{H} = \frac{\vec{B}}{\mu}$$

$$\hat{n} \times \frac{\vec{B}_1}{\mu_1} = \hat{n} \times \frac{\vec{B}_2}{\mu_2}$$

meio 1

meio 2

Somente as amplitudes dos campos \vec{B}

$$-\frac{B_{oi}}{\mu_1} \cos \theta_i + \frac{B_{or}}{\mu_1} \cos \theta_r = -\frac{B_{ot}}{\mu_2} \cos \theta_t$$

Da outra parte da

$$E_{oi} + E_{or} = E_{ot}$$

São válidos na interface entre os dois meios

$$\begin{cases} E_{oi} = v_i B_{oi} \\ E_{or} = v_r B_{or} = v_i B_{or} \\ E_{ot} = v_t B_{ot} \end{cases}$$

$$\begin{cases} \theta_i = \theta_r \\ \text{refl} \times \tilde{a} \end{cases}$$

$$\rightarrow - \frac{E_{oi}}{v_i \mu_1} \cos \theta_i + \frac{E_{or}}{v_i \mu_2} \cos \theta_i = - \frac{E_{ot}}{v_t \mu_2} \cos \theta_t$$

$$= - \frac{1}{v_t \mu_2} [E_{oi} + E_{or}] \cos \theta_t$$

$$E_{or} \left[\frac{\cos \theta_i}{v_i \mu_1} + \frac{\cos \theta_t}{v_t \mu_2} \right] = E_{oi} \left[\frac{\cos \theta_i}{v_i \mu_1} - \frac{\cos \theta_t}{v_t \mu_2} \right]$$

$$v_i = \frac{c}{n_i} \quad v_t = \frac{c}{n_t}$$

material 1 e 2
não são magnéticos

$$\mu_1 = \mu_2 = \mu_0$$

$$p_i \theta_i = 0$$

$$\left(\frac{E_{or}}{E_{oi}} \right)_{\perp} = \frac{n_i - n_t}{n_i + n_t}$$

$$\frac{E_{or}}{E_{oi}} = \left[\frac{n_i \cos \theta_i - n_t \cos \theta_t}{n_i \cos \theta_i + n_t \cos \theta_t} \right]$$

$$r_{\perp} \equiv \left(\frac{E_{or}}{E_{oi}} \right)_{\perp}$$

Coef. de reflexão das amplitudes
dos campos elétricos.

$$E_{or} = E_{ot} - E_{oi}$$

\rightarrow

$$\left(\frac{E_{ot}}{E_{oi}} \right)_{\perp} \equiv t_{\perp}$$

Coef. de transmissão

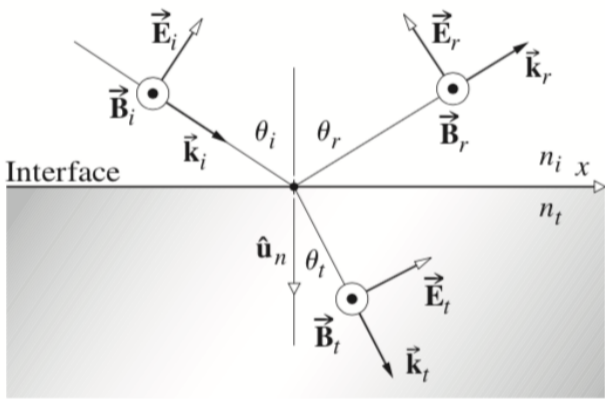
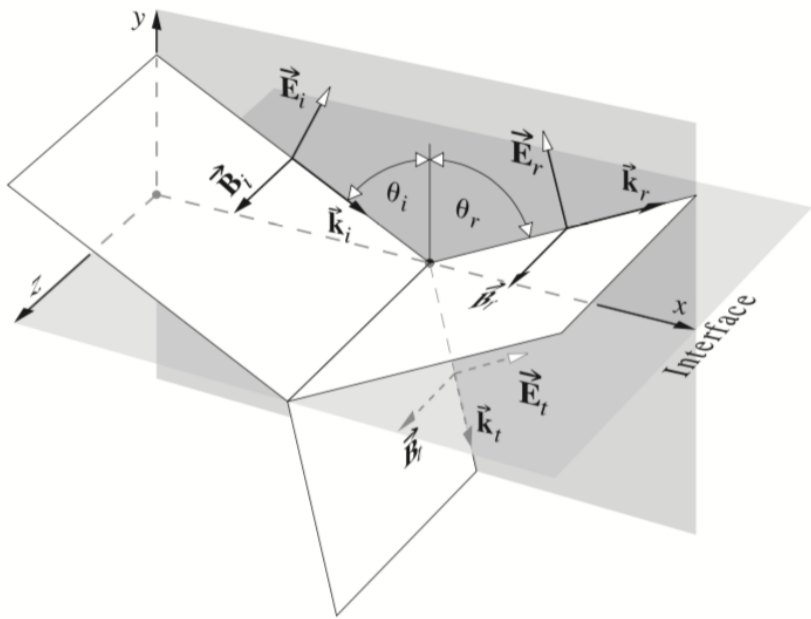
$$\left(\frac{E_{ot}}{E_{oi}} \right)_{\perp} = \frac{2 n_i \cos \theta_i}{n_i \cos \theta_i + n_t \cos \theta_t}$$

$$p_i \theta_i = 0$$

$$\left(\frac{E_{ot}}{E_{oi}} \right)_{\perp} = \frac{2 n_i}{n_i + n_t}$$

2º caso

$\vec{E}_{||}$ paralelo ao plano de incidência



reflexão

$$\left(\frac{E_{or}}{E_{oi}} \right)_{||} = \frac{n_t \cos \theta_i - n_i \cos \theta_t}{n_i \cos \theta_t + n_t \cos \theta_i}$$

$$\left(\frac{E_{ot}}{E_{oi}} \right)_{||} = \frac{2 n_i \cos \theta_i}{n_i \cos \theta_t + n_t \cos \theta_i}$$

um caso particular, para simplificar $\theta_i = 0$

Figure 4.48 An incoming wave whose \vec{E} -field is in the plane-of-incidence.

$$r_{||} = \frac{n_t - n_i}{n_t + n_i}$$

$$t_{||} = \frac{2 n_i}{n_i + n_t} = t_{\perp}$$

$\hookrightarrow [r_{||}] = -[r_{\perp}]$

$$r_{\perp} = \frac{n_i - n_t}{n_t + n_i}$$

x x

Introdução aos E_g de Fresnel

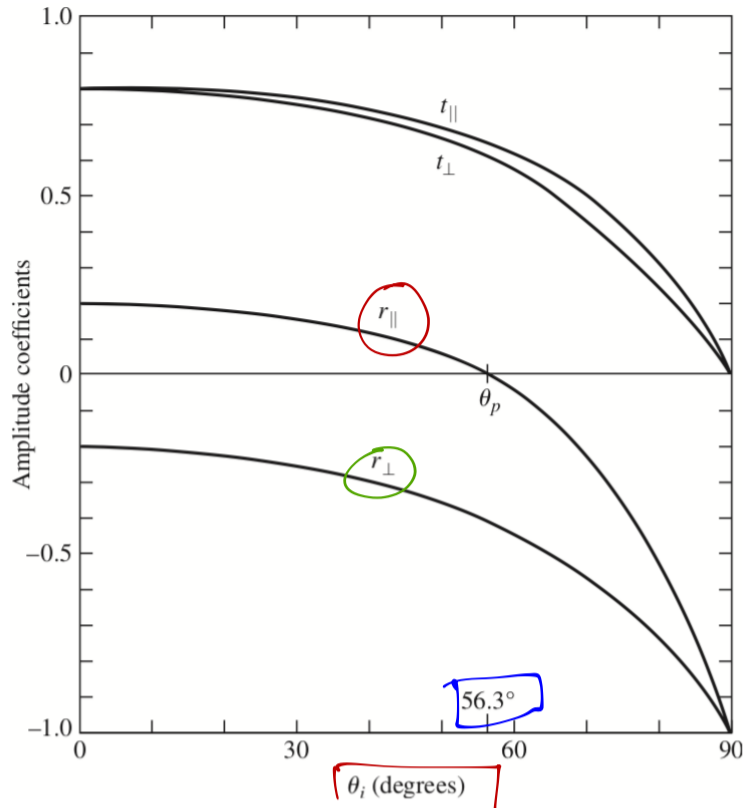
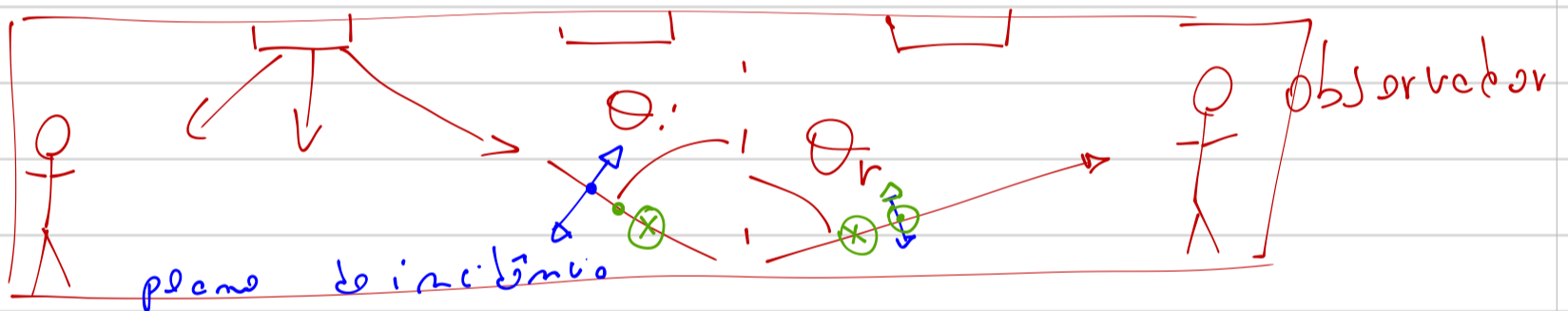
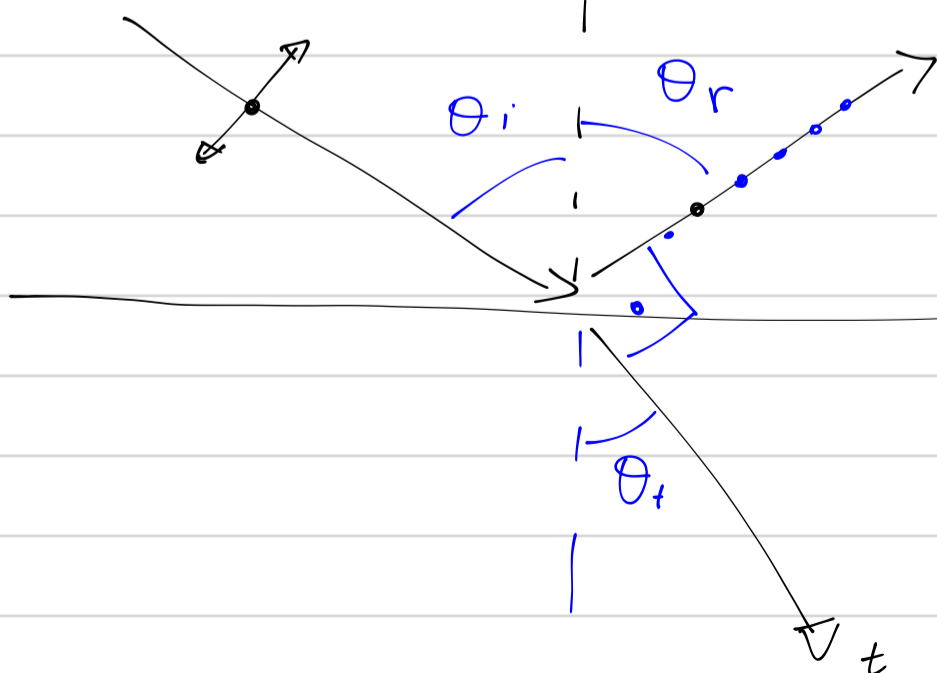


Figure 4.49 The amplitude coefficients of reflection and transmission as a function of incident angle. These correspond to external reflection $n_t > n_i$ at an air-glass interface ($n_{ti} = 1.5$).



1º Exemplo Somente \vec{E}_\perp reflete a um ângulo específico. $\theta_p =$ ângulo de polarização ou



$\theta_B =$ ângulo de Brewster $\vec{E}_\parallel = 0$ p/ $\theta = \theta_B$

$$\theta_r + \theta_t = 90^\circ$$

2º exemplo

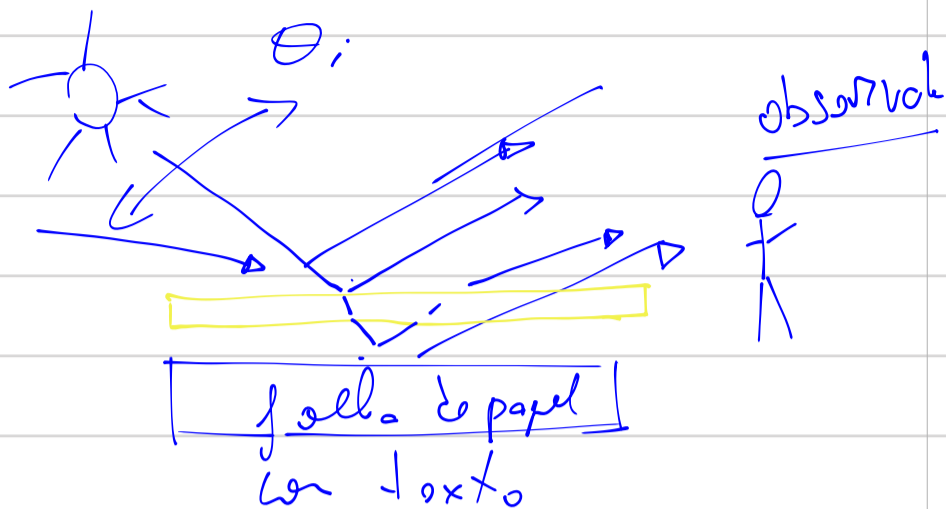
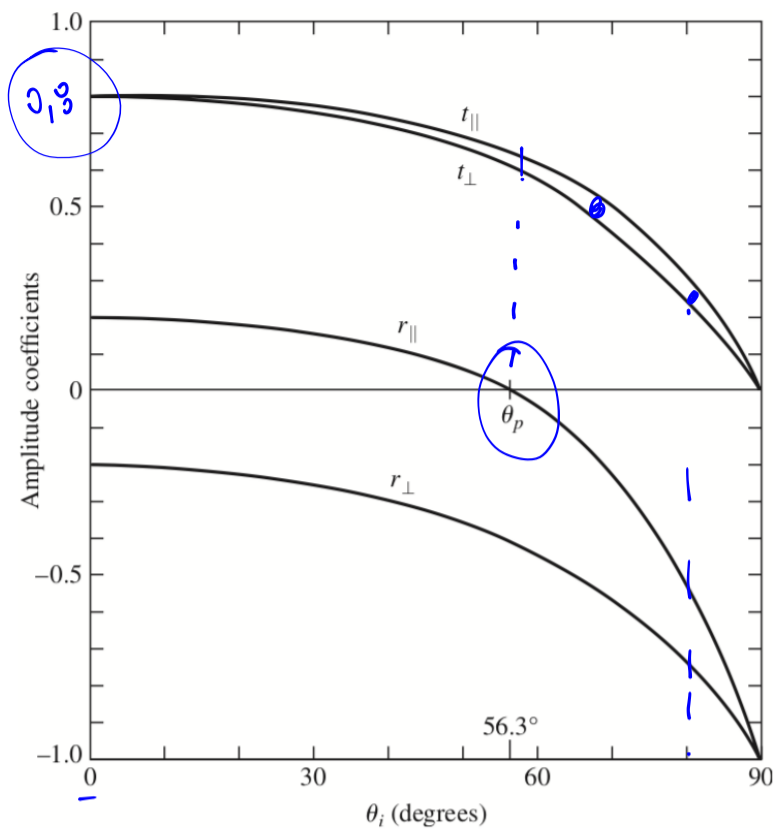
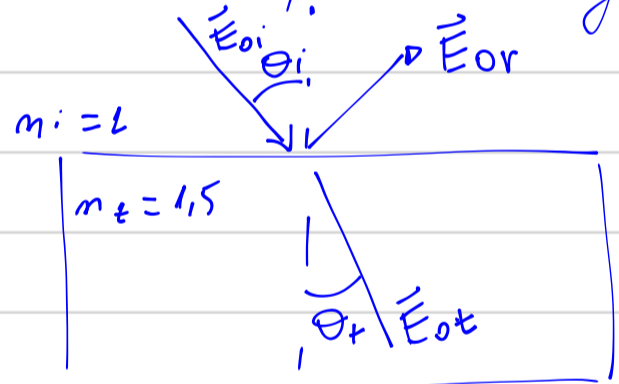


Figure 4.49 The amplitude coefficients of reflection and transmission as a function of incident angle. These correspond to external reflection $n_t > n_i$ at an air-glass interface ($n_t = 1.5$).

3º exemplo

Reflexão interna

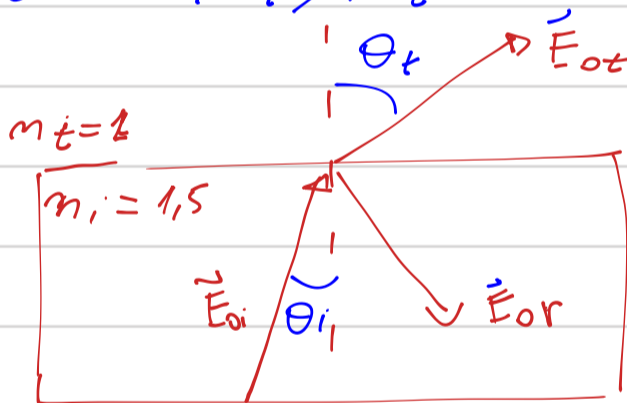
$$n_i > n_t$$



$$n_i \sin \theta_i = n_t \sin \theta_t$$

Reflexão externa

$$\theta_i \rightarrow 90^\circ \text{ antes de } \theta_t$$



$$n_i \sin \theta_i = n_t \sin \theta_t$$

Reflexão interna

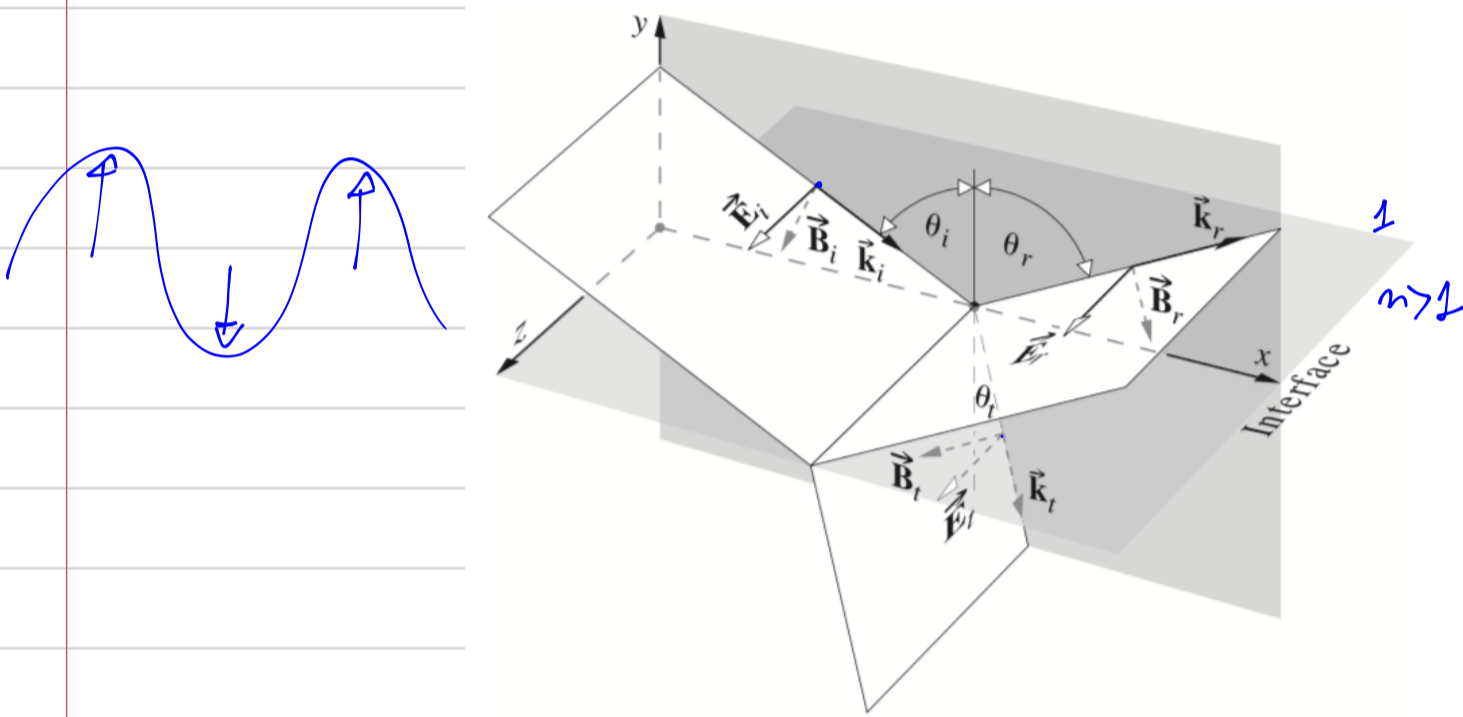
$\theta_t \rightarrow 90^\circ$ antes de θ_i
quando isto acontece eu
tenho uma reflexão interna
total.

$$n_i \sin \theta_i = n_t \sin 90^\circ$$

$$\sin \theta_i = n_t / n_i$$

$\theta_c =$ ângulo crítico quando ocorre reflexão interna total.

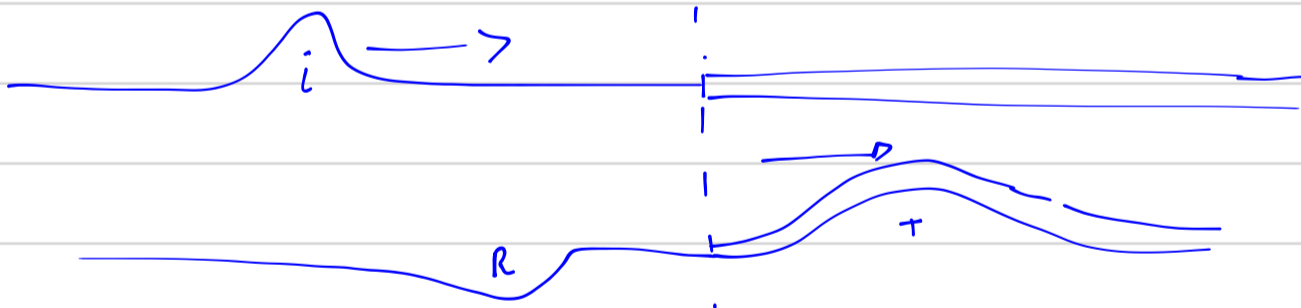
Fase da Onda



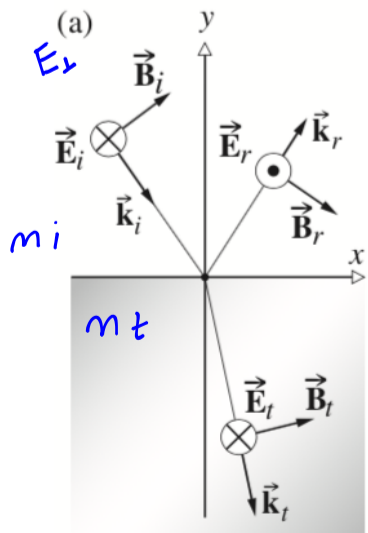
$$r_{\perp} = \frac{n_i - n_t}{n_i + n_t}$$

- denso

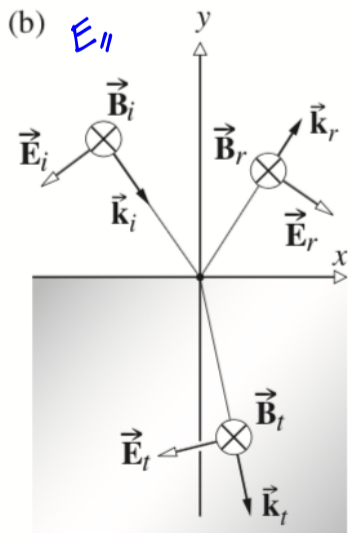
+ denso



$\Delta\phi = \pi$
pi reflexão



$n_t > n_i$

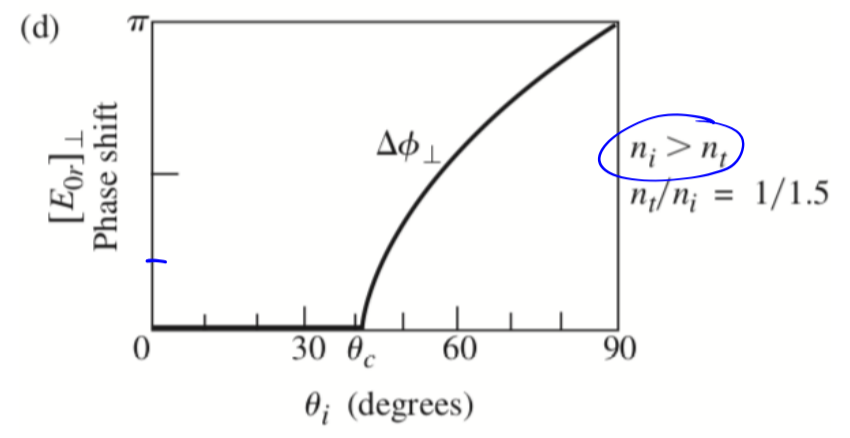
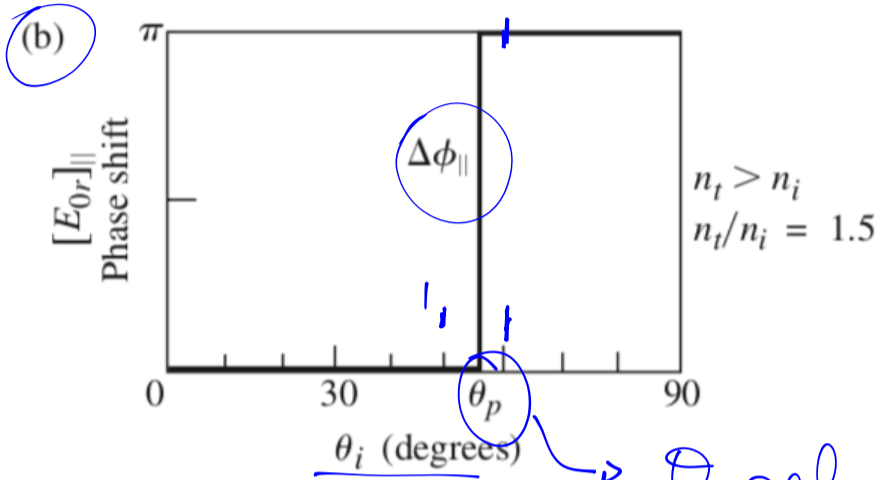
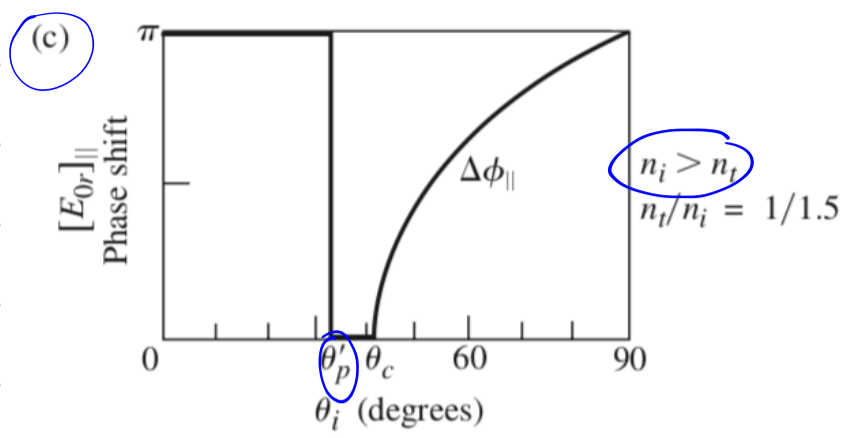
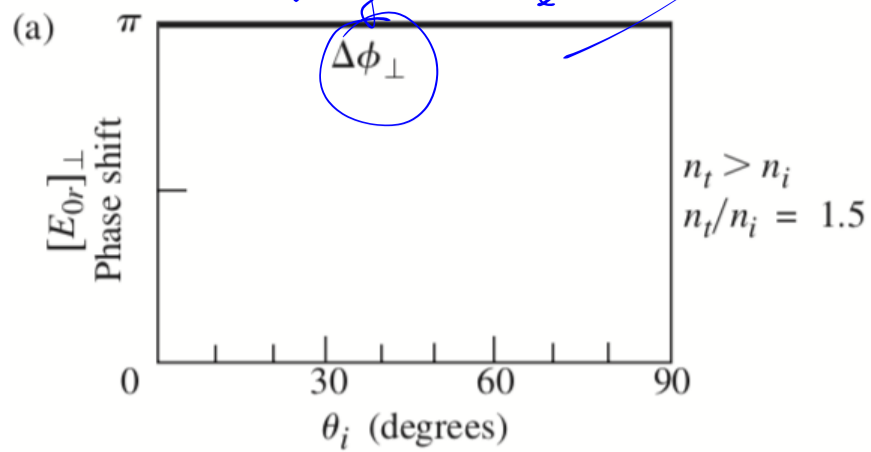


$n_t < n_i$

Figure 4.51 Field orientations and phase shifts.

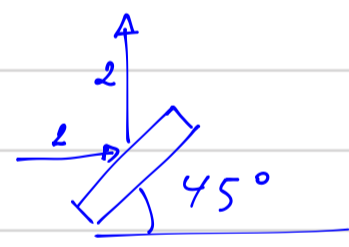
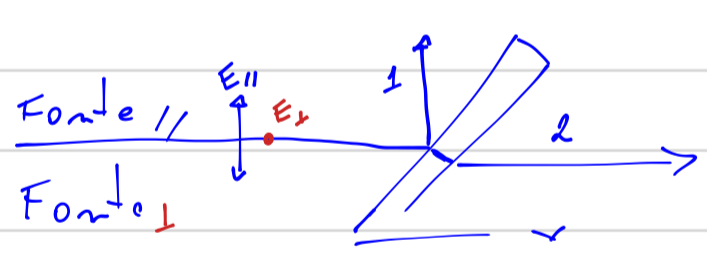
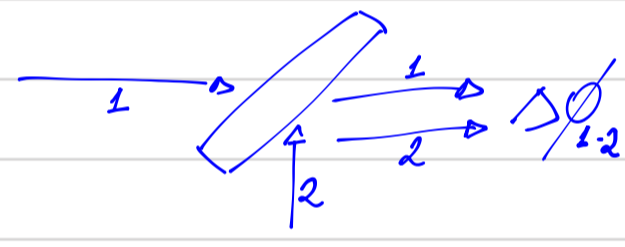
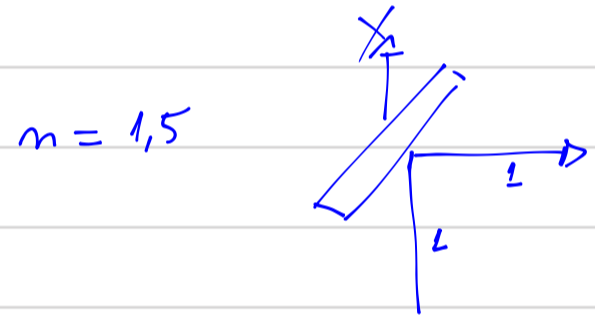
Reflexão interna

reflexão externa



θ polarização

----- x ----- x ----- x -----



----- x ----- x ----- x -----

$\Delta\phi_{1-2}$ = dif. de fase dos feixes 1 e 2

Valendo +1 pt na P1
entrega na P1

----- x ----- x ----- x -----